

Lista IV

- ① [1.0] Em geral uma equação de movimento não segue de uma lei de conservação, mas isso pode acontecer em alguns casos. Por exemplo, para uma partícula de massa m que se movimenta em uma dimensão, a conservação de energia implica na equação de movimento para essa partícula.

Considere uma partícula de massa m_0 se movendo ao longo de uma linha de mundo x^σ num espaço-tempo qualquer. O tensor de energia-momento para essa partícula pode ser escrito como:

$$T^{\mu\nu} = \frac{1}{\sqrt{-g}} m_0 \int ds \frac{dx^\mu}{ds} \frac{dx^\nu}{ds} \delta^{(4)}(x^\sigma - x^\sigma(s)). \quad (1)$$

Mostre que a lei de conservação $T_{;\nu}^{\mu\nu} = 0$ implica na equação da geodésica para a trajetória $x^\sigma(s)$. Por quê neste caso a equação de movimento segue da lei de conservação? *Dica:* Em uma solução possível é útil usar a relação derivada em aula:

$$\Gamma_{\mu\nu}^\nu = \frac{1}{\sqrt{-|\det(g)|}} \frac{\partial}{\partial x^\mu} (\sqrt{-|\det(g)|}). \quad (2)$$

Solução: A derivada covariante do tensor energia-momento é:

$$D_\mu T^{\mu\nu} = \partial_\mu T^{\mu\nu} + \Gamma_{\alpha\mu}^\mu T^{\alpha\nu} + \Gamma_{\alpha\mu}^\nu T^{\alpha\mu} = 0. \quad (3)$$

Usando a relação (2), podemos reescrever a equação acima como:

$$\frac{1}{\sqrt{-g}} \partial_\mu (\sqrt{-g} T^{\mu\nu}) + \Gamma_{\alpha\mu}^\nu T^{\alpha\mu} = 0. \quad (4)$$

Note que o segundo termo está na forma que queremos. No integrando do primeiro termo, temos:

$$\partial_\mu \left(\frac{dx^\mu(s)}{ds} \frac{dx^\nu(s)}{ds} \delta^{(4)}(x^\sigma - x^\sigma(s)) \right). \quad (5)$$

A derivada ∂/∂_μ só vai agir na delta:

$$\frac{\partial}{\partial x^\mu} \delta^{(4)}(x^\sigma - x^\sigma(s)) = \frac{\partial \delta^{(4)}(x^\sigma - x^\sigma(s))}{\partial(x^\sigma - x^\sigma(s))} \delta_\sigma^\mu = \quad (6)$$

$$- \frac{\partial \delta^{(4)}(x^\sigma - x^\sigma(s))}{\partial s} \frac{\partial s}{\partial x^\mu(s)} \quad (7)$$

Fazendo a integração por partes no primeiro termo de (4) obtemos:

$$- \frac{m_0}{\sqrt{-g}} \left(\frac{dx^\nu(s)}{ds} \delta^{(4)}(x^\sigma - x^\sigma(s)) \Big|_{s_i}^{s_f} - \int ds \frac{d^2 x^\nu(s)}{ds^2} \delta^{(4)}(x^\sigma - x^\sigma(s)) \right). \quad (8)$$

O primeiro termo da expressão acima se anula¹, enquanto que o segundo termo nos dá exatamente o que precisávamos. Substituindo em 4 e argumentando que o integrando se anula, obtemos a equação da geodésica.

Note que a equação de movimento para a partícula (equação da geodésica) segue da lei de conservação. Isso acontece por que nesse caso o número de vínculos gerados pela lei de conservação é igual ao número de graus de liberdade. Isso também acontece para um movimento unidimensional. Se no tensor de energia-momento também houvesse uma contribuição de um campo escalar, por exemplo, então a divergência covariante do tensor energia-momento combinado não seria suficiente para determinar a dinâmica da partícula, mas também precisaríamos da equação de movimento para o campo escalar. Uma situação desse tipo é encontrada na equação (16) do paper arXiv:1108.3081v1.

- ② [1.0] O tensor de Ricci é definido como uma contração do tensor de Riemann $R_{\mu\nu} = R_{\mu\lambda\nu}^\lambda$. Mostre que na aproximação quase-estática a componente tempo-tempo do tensor the Ricci é dada por

$$R_{00} \simeq \nabla^2 \Phi + \mathcal{O}(\Phi^2), \quad (9)$$

onde Φ é o potencial Newtoniano. *Dica:* Comece decompondo a métrica como $g_{\mu\nu} = \eta_{\mu\nu} + h_{\mu\nu}$ onde $h_{\mu\nu} \ll 1$.

¹Esse termo é basicamente a diferença da quadri-velocidade nos instantes inicial e final da trajetória, que se anula para uma órbita fechada. Entretanto, em uma órbita aberta, esse termo se anular vai depender da escolha de s_f e s_i . Por exemplo, numa trajetória em uma métrica do Schwarzschild as quadri-velocidades serão iguais se tomarmos os instantes iniciais e finais quando a partícula está muito longe da fonte.

Solução: Podemos decompor a métrica como:

$$g_{\mu\nu} = \eta_{\mu\nu} + h_{\mu\nu}, \quad (10)$$

onde $h_{\mu\nu}$ é uma perturbação de primeira ordem. Deste modo, as conexões e o tensor de Ricci podem ser calculadas como

$$\Gamma_{\alpha\nu}^{\lambda} = \frac{1}{2}\eta^{\lambda\gamma} (h_{\alpha\gamma,\nu} + h_{\nu\gamma,\alpha} - h_{\alpha\nu,\gamma}) \quad (11)$$

e

$$R_{\alpha\beta} = R_{\alpha\lambda\beta}^{\lambda} = \Gamma_{\alpha\beta,\lambda}^{\lambda} - \Gamma_{\alpha\lambda,\beta}^{\lambda} + \Gamma\Gamma - \Gamma\Gamma \approx \Gamma_{\alpha\beta,\lambda}^{\lambda} - \Gamma_{\alpha\lambda,\beta}^{\lambda}, \quad (12)$$

onde nós negligenciamos termos do tipo $\Gamma\Gamma$ por serem de segunda ordem em h . Em primeira ordem, as conexões e o tensor de Ricci ficam:

$$\Gamma_{\alpha\lambda,\beta}^{\lambda} = \frac{1}{2}\eta^{\lambda\gamma} (h_{\alpha\gamma,\lambda\beta} + h_{\lambda\gamma,\alpha\beta} - h_{\alpha\lambda,\gamma\beta}) = \frac{1}{2}\eta^{\lambda\gamma} h_{\lambda\gamma,\alpha\beta} \quad (13)$$

e

$$R_{\alpha\beta} = \frac{1}{2}\eta^{\lambda\gamma} (h_{\alpha\gamma,\beta\lambda} + h_{\beta\gamma,\alpha\lambda} - h_{\alpha\beta,\gamma\lambda} - h_{\lambda\gamma,\alpha\beta}). \quad (14)$$

Agora vamos calcular R_{00} lembrando que $h_{ij,0} = 0$ e a componente tempo-tempo é $h_{00} = 2\Phi$:

$$\begin{aligned} R_{00} &= \frac{1}{2}\eta^{\lambda\gamma} (h_{0\gamma,0\lambda} + h_{0\gamma,0\lambda} - h_{00,\gamma\lambda} - h_{\lambda\gamma,00}) = -\frac{1}{2}\eta^{\lambda\gamma} h_{00,\gamma\lambda} \\ &= -\eta^{\lambda\gamma} \Phi_{,\lambda\gamma} = \nabla^2 \Phi. \end{aligned} \quad (15)$$

- ③ [1.0] Encontre o raio de Schwarzschild de um objeto esférico que tenha a massa da terra ($M = 6 \times 10^{24}\text{Kg}$).

Solução:

$$r_s = \frac{2GM}{c^2} = \frac{2 \times 6.67 \times 6}{9} \times 10^{-3} m \simeq 0.9 \text{cm!!} \quad (16)$$

- ④ [1.0] Uma forma mais geral das equações de Einstein pode ser como:

$$R_{\mu\nu} - \alpha g_{\mu\nu} R = 8\pi G T_{\mu\nu}, \quad (17)$$

onde α é uma constante adimensional. Mostre que se α não fosse $1/2$, então as equações de Einstein não estariam de acordo com os experimentos.

Dica: Considere a divergência covariante das equações de Einstein. Para fazer isso, contraia as identidades de Bianchi para obter que $R_{,\mu} = 2R_{\mu;\nu}^{\nu}$. Depois derive o traço das equações de Einstein.

Solução: Primeiro, vamos obter as identidades de Bianchi contraídas:

$$\begin{aligned} g^{bn} g^{am} (R_{abmn;\ell} + R_{abl m;n} + R_{abn\ell;m}) &= 0 \\ g^{bn} (R_{bmn;\ell}^m - R_{bml;n}^m + R_{bn\ell;m}^m) &= 0 \\ g^{bn} (R_{bn;\ell} - R_{bl;n} - R_{b\ell;n}^m) &= 0 \\ R_{;\ell} - R_{\ell;n}^n - R_{\ell;m}^m &= 0 \\ R_{;\ell} &= 2R_{\ell;m}^m. \end{aligned}$$

Agora vamos usar a relação acima na derivada covariante das equações de Einstein:

$$(R^{\mu}_{\nu} - \alpha \delta^{\mu}_{\nu} R)_{;\beta} = 8\pi G (T^{\mu\nu})_{;\beta} \quad (18)$$

e, portanto,

$$\left(\frac{1}{2} - \alpha\right) R_{;\nu} = 8\pi G T^{\beta}_{\nu;\beta}. \quad (19)$$

Agora, derivando o traço das equações de Einstein, obtemos:

$$(1 - 4\alpha) R_{,\mu} = 8\pi G T_{,\nu}. \quad (20)$$

As equações de movimento devem ser:

$$T^{\beta}_{\nu;\beta} = \kappa T_{,\nu}, \quad (21)$$

onde $\kappa = \frac{1/2 - \alpha}{1 - 4\alpha}$. No limite Newtoniano e para um fluido de densidade ρ e pressão negligenciável, a componente 0 dessa equação é:

$$\frac{\partial \rho}{\partial t} + \nabla \cdot (\rho \mathbf{v}) = \kappa \frac{\partial \rho}{\partial t}. \quad (22)$$

Portanto, a energia só vai conservar se $\kappa = 0$, ou seja, se $\alpha = 1/2$.

- ⑤ [1.0] Um aluno está descrevendo a sua queda radial num buraco negro de Schwarzschild através de ondas de rádio, enquanto outro aluno recebe a transmissão fixo em (r_*, θ_*, ϕ_*) . Para resolver este exercício, é útil saber que $E_\lambda = (1 - R_s/r) dt/d\lambda$, onde $R_s = 2GM$, é uma constante de movimento (veja a equação 5.61 do livro do Sean Carroll).

a) Mostre que a velocidade com a qual o aluno cai no buraco negro com relação a coordenada t é dada por:

$$\frac{dr}{dt} = -(1 - R_s/r) \sqrt{\frac{R_s(r_* - r)}{r(r_* - R_s)}} \quad (23)$$

Dica: Comece encontrando $dr/d\tau$, onde τ é o tempo próprio do aluno caindo em direção ao buraco negro.

Solução: O intervalo é:

$$ds^2 = -d\tau^2 - \left(1 - \frac{R_s}{r}\right) dt^2 + \left(1 - \frac{R_s}{r}\right)^{-1} dr^2. \quad (24)$$

Portanto,

$$1 = \left(1 - \frac{R_s}{r}\right) \frac{dt^2}{d\tau^2} - \left(1 - \frac{R_s}{r}\right)^{-1} \frac{dr^2}{d\tau^2}. \quad (25)$$

Avaliando a equação acima em r_* (onde o aluno está em repouso) e usando que $E = (1 - R_s/r) dt/d\tau$, obtemos

$$E = \sqrt{1 - R_s/r_*}. \quad (26)$$

Deste modo,

$$dt/d\tau = (1 - R_s/r_*) / (1 - R_s/r). \quad (27)$$

Substituindo (27) em (25), obtemos:

$$\frac{dr}{d\tau} = -\sqrt{R_s \left(\frac{r_* - r}{rr_*}\right)}. \quad (28)$$

Podemos obter dr/dt usando a regra da cadeia:

$$\frac{dr}{dt} = \frac{dr}{d\tau} \frac{d\tau}{dt} = -(1 - R_s/r) \sqrt{\frac{R_s(r_* - r)}{r(r_* - R_s)}}. \quad (29)$$

b) Mostre que a razão entre a frequência da onda de rádio emitida em r_{em} e a frequência observada em r_* é dada por:

$$\frac{\omega_{em}}{\omega_{obs}} = \frac{\sqrt{1 - R_s/r_*}}{(1 - R_s/r_{em})} \left(\sqrt{1 - R_s/r_*} + \sqrt{R_s/r_{em} - R_s/r_*} \right) \quad (30)$$

Dica: Use que a frequência de um fóton percorrendo uma geodésica nula $x^\nu(\lambda)$ detectada por um observador com 4-velocidade U^μ é dada por:

$$\omega = -g_{\mu\nu} U^\mu \frac{dx^\nu}{d\lambda}. \quad (31)$$

Solução:

Usando (31), temos, para a frequência emitida:

$$\omega_{em} = -g_{00} U^0 \frac{dx^0}{d\lambda} - g_{11} U^1 \frac{dx^1}{d\lambda} = \quad (32)$$

$$= \left(1 - \frac{R_s}{r_{em}} \right) \frac{dt}{d\tau} \frac{dt}{d\lambda} - \left(1 - \frac{R_s}{r_{em}} \right)^{-1} \frac{dr}{d\tau} \frac{dr}{d\lambda} = \quad (33)$$

$$\left(1 - \frac{R_s}{r_{em}} \right) \frac{dt}{d\tau} \frac{dt}{d\lambda} - \left(1 - \frac{R_s}{r_{em}} \right)^{-1} \frac{dr}{d\tau} \frac{dr}{d\lambda} = \quad (34)$$

$$= \left(\sqrt{1 - R_s/r_*} + \sqrt{\frac{R_s}{r} - \frac{R_s}{r_*}} \right) \frac{dt}{d\lambda}. \quad (35)$$

Na última igualdade usamos que $dt/d\tau = \sqrt{1 - R_s/r_*}/(1 - R_s/r_{em})$ e $dr/d\lambda = (dr/dt)(dt/d\lambda)$. Finalmente,

$$\omega_{em} = \left(\sqrt{1 - R_s/r_*} + \sqrt{\frac{R_s}{r} - \frac{R_s}{r_*}} \right) \frac{E_\gamma}{(1 - R_s/r_{em})}. \quad (36)$$

De forma analoga, a frequência observada será:

$$\omega_{obs} = \left(1 - \frac{R_s}{r} \right) \frac{dt}{d\lambda} \frac{dt}{d\tau} = \left(1 - \frac{R_s}{r} \right) \frac{dt}{d\lambda} \frac{1}{\sqrt{1 - R_s/r_*}} = \frac{E_\lambda}{1 - R_s/r_*}. \quad (37)$$

A razão entre as frequências emitida e observada será:

$$\frac{\omega_{em}}{\omega_{obs}} = \frac{\sqrt{1 - R_s/r_*}}{(1 - R_s/r_{em})} \left(\sqrt{1 - R_s/r_*} + \sqrt{\frac{R_s}{r_{em}} - \frac{R_s}{r_*}} \right). \quad (38)$$

c) Mostre que a relação entre o redshift sofrido pela onda de rádio se relaciona com a massa do buraco negro como:

$$\frac{\lambda_{obs}}{\lambda_{em}} \propto e^{t_{obs}/2GM}, \quad (39)$$

onde t_{obs} é o tempo que leva para a onda emitida chegar até o observador em r_* .

Solução: O tempo que demora para a luz ir de r_{em} para r_* é:

$$t_{obs} = \int_{r_{em}}^{r_*} \frac{dr}{\left(1 - \frac{R_s}{r}\right)} = R_s \int dx \frac{x}{x-1} = \quad (40)$$

$$= R_s \left(r_* - r_{em} - \ln \left[\frac{(r_* - R_s)}{(r_{em} - R_s)} \right] \right) = \quad (41)$$

$$= R_s \ln \left[\frac{(r_* - R_s)}{(r_{em} - R_s)} \right] + C. \quad (42)$$

Usando o resultado do ítem anterior no limite em que $r_{em} \rightarrow R_s$, podemos escrever:

$$\frac{\lambda_{obs}}{\lambda_{em}} \simeq 2 \frac{r_{em}(r_* - R_s)}{r_*(r_{em} - R_s)}. \quad (43)$$

Portanto,

$$t_{obs} = R_s \ln \left[\frac{r_* \lambda_{obs}}{2r_{em} \lambda_{em}} \right] \quad (44)$$

e

$$\frac{\lambda_{obs}}{\lambda_{em}} \propto e^{t_{obs}/R_s}. \quad (45)$$

- ⑥ [2.0] Considere, em um espaço-tempo, um conjunto de geodésicas, infinitesimalmente próximas, parametrizadas por uma variável μ e um outro conjunto parametrizado por uma variável λ . Esses dois conjuntos formam o mapeamento do espaço-tempo. O campo de vetores tangentes a curva μ é dado por u^i , enquanto o campo de vetores tangentes à curva λ é v^i .

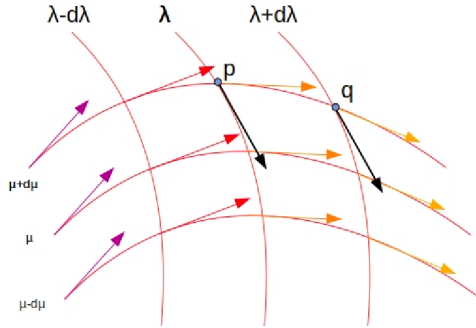


Figura 1: Conjunto de curvas λ e μ .

Considere os dois pontos $p = x_0^i$ e $q = x_0^i + dx^i$, descritos na imagem acima.

- a) Mostre que é possível escrever q como $x_0^i + u^i d\lambda$ e mostre também que $v^j(q) = v^j(p) + \partial_k v^j(p) u^k d\lambda$. (Dica: $f(a^l + dx^l) \approx f(a^l) + \partial_k f(a^l) dx^k$).

Solução:

$$Q - P = u^i d\lambda = dx^i \quad (46)$$

$$\therefore Q = x_0^i + u^i d\lambda \quad (47)$$

$$\Rightarrow v^j(Q) = v^j(x_0^i + u^i d\lambda) = \quad (48)$$

$$= v^j(x_0^i) + \frac{\partial v^j}{\partial x^k}(x_0^i) dx^k \quad (49)$$

$$= v^j(x_0^i) + \frac{\partial v^j}{\partial x^k}(x_0^i) u^k d\lambda \quad (50)$$

- b) Mostre que, por uma transformação de coordenadas $x \rightarrow x' = x + dx$ (usando dx como calculado anteriormente em termos de u^i e $d\lambda$), é possível escrever $v'^j(q) = v^j(p) + \partial_i u^j v^i(p) d\lambda$.

A **Derivada de Lie** do vetor v^i sob o campo parametrizado por λ , simbolizada por $\mathcal{L}_u v^i$, é definida como

$$\mathcal{L}_u v^i = \lim_{d\lambda \rightarrow 0} \frac{v^i(q) - v^i(p)}{d\lambda}. \quad (51)$$

Solução:

$$v'^j(x') = \frac{\partial x'^j}{\partial x^l} v^l(x) = \frac{\partial x'^j}{\partial x^l} v^l(x) = \quad (52)$$

$$= (\delta_l^j + \partial_l u^j d\lambda) v^l(x) = \quad (53)$$

$$v^j(x) + \partial_l u^j v^l(x) d\lambda. \quad (54)$$

Se $x = p$,

$$x' = p + dx = Q \quad (55)$$

$$\therefore v'^j(q) = v^j(p) + \partial_l u^j v^l(p). \quad (56)$$

c) Mostre que é possível escrever $\mathcal{L}_u v^i = u^j \partial_j v^i - v^j \partial_j u^i$.

É possível generalizar essa ideia para vetores covariantes e tensores.

Solução:

$$\mathcal{L}_\mu = \lim_{d\lambda \rightarrow 0} \frac{v^i(q) - v^i(p)}{d\lambda} = \lim_{d\lambda \rightarrow 0} v^l \partial_l u^i - u^l \partial_l v^i = v^l \partial_l u^i - u^l \partial_l v^i. \quad (57)$$

d) Prosseguindo na mesma forma que nos itens anteriores, mostre que $\mathcal{L}_u v_i = u^j \partial_j v_i + v_j \partial_i u^j$ (Dica: ao escrever a transformação, despreze termos de segunda ordem em $d\lambda$).

Solução: Sabendo que $(J^{-1})_i^j \simeq \delta_i^j - \partial_i v^j(p)$, temos

$$v_i(q) = v_i(p) + u^j(p) \partial_j v_i(p) d\lambda \quad (58)$$

$$v'_i(q) = (J^{-1})_i^j v_j(p) = v_i(p) - v_j(p) \partial_i v^j(p) d\lambda. \quad (59)$$

$$\Rightarrow v_i(q) - v'_i(q) = [u^j(p) \partial_j v_i(p) + v_j(p) \partial_i v^j(p)] d\lambda \quad (60)$$

$$\Rightarrow \frac{v_i(q) - v'_i(q)}{d\lambda} = \mathcal{L}_u v_i = u_j \partial_j v_i + v_j \partial_i u^j \quad (61)$$

e) Mostre que, para um tensor $T_{\alpha\beta}$, $\mathcal{L}_u T_{\alpha\beta} = u^j \partial_j T_{\alpha\beta} + T_{j\beta} \partial_\alpha u^j + T_{\alpha j} \partial_\beta u^j$.

Considere agora a métrica $g_{\mu\nu}$ de um determinado espaço-tempo, um campo de vetores K^μ e uma geodésica descrita por um parâmetro λ .

Solução:

$$T_{ij}(q) = T_{ij}(p) + u^k(p) \partial_k T_{ij}(p) d\lambda \quad (62)$$

$$T'_{ij}(q) = (J^{-1})_i^k (J^{-1})_j^l T_{kl}(p) \quad (63)$$

$$= T_{ij}(p) - T_{ik}(p) \partial_j u^k(p) d\lambda - T_{kj} \partial_i u^k(p) d\lambda. \quad (64)$$

$$\frac{T_{ij}(q) - T'_{ij}(q)}{d\lambda} = \mathcal{L}_u T_{ij} = u^k \partial_k T_{ij} + T_{ik} \partial_j u^k + T_{kj} \partial_i u^k. \quad (65)$$

f) Mostre que é possível escrever

$$\mathcal{L}_K g_{\mu\nu} = K_{\mu;\nu} + K_{\nu;\mu}. \quad (66)$$

A derivada de Lie tem uma relação importante com determinadas simetrias e leis de conservação em um espaço-tempo ao longo de uma trajetória. Dizemos que K^μ é um **Campo de Killing** se $\mathcal{L}_K g_{\mu\nu} = 0$. Cada campo de Killing leva a uma lei de conservação.

Solução:

$$K_{\mu;\nu} + K_{\nu;\mu} = g_{\mu\alpha} K_{;\nu}^\alpha + g_{\alpha\nu} k_{;\mu}^\alpha = \quad (67)$$

$$= g_{\mu\alpha} [K_{,\nu}^\alpha + \Gamma_{\nu\beta}^\alpha K^\beta] + g_{\alpha\nu} [K_{,\mu}^\alpha + \Gamma_{\mu\beta}^\alpha K^\beta] = \quad (68)$$

$$= g_{\mu\alpha} K_{,\nu}^\alpha + g_{\alpha\nu} K_{,\mu}^\alpha \quad (69)$$

$$+ \frac{1}{2}(g_{\mu\nu,\beta} + g_{\mu\beta,\nu} - g_{\nu\beta,\mu})K^\beta + \frac{1}{2}(g_{\mu\nu,\beta} + g_{\nu\beta,\mu} - g_{\mu\beta,\nu})K^\beta = \quad (70)$$

$$= K^\alpha g_{\mu\nu,\alpha} + g_{\mu\alpha} K_{,\nu}^\alpha + g_{\alpha\nu} K_{,\mu}^\alpha = \mathcal{L}_u g_{\mu\nu}. \quad (71)$$

g) Mostre que, se K^μ for um campo de Killing,

$$\frac{d}{d\lambda} \left(g_{\mu\nu} K^\mu \frac{dx^\nu}{d\lambda} \right) = 0. \quad (72)$$

Solução:

$$\frac{d}{d\lambda} \left(K_\mu \frac{dx^\mu}{d\lambda} \right) = K_{\mu;\nu} \frac{dx^\mu}{d\lambda} \frac{dx^\nu}{d\lambda} + K_\mu \frac{d^2 x^\mu}{d\lambda^2} = \quad (73)$$

$$[K_{\mu;\nu} - K_\alpha \Gamma_{\mu\nu}^\alpha] \frac{dx^\mu}{d\lambda} \frac{dx^\nu}{d\lambda} = K_{\mu;\nu} \frac{dx^\mu}{d\lambda} \frac{dx^\nu}{d\lambda} = \quad (74)$$

$$= \frac{1}{2} [K_{\mu;\nu} + K_{\nu;\mu}] \frac{dx^\mu}{d\lambda} \frac{dx^\nu}{d\lambda} = 0 \quad (75)$$

h) Em coordenadas cartesianas (t, x, y, z) , mostre que $K_1^\mu = (1, 0, 0, 0)$, $K_2^\mu = (0, 1, 0, 0)$, $K_3^\mu = (0, 0, 1, 0)$ e $K_4^\mu = (0, 0, 0, 1)$ são campos de Killing do espaço-tempo de Minkowski.

Solução:

Em Minkowski, $g_{\mu\nu} = \eta_{\mu\nu}$

$$\Rightarrow \mathcal{L}_k g_{\mu\nu} = \eta_{\mu\alpha} K_{,\nu}^\alpha + \eta_{\alpha\nu} K_{,\mu}^\alpha \quad (76)$$

Portanto $K^\alpha = cte$ e é um vetor de Killing.

- i) Em coordenadas esféricas (t, r, θ, ϕ) , mostre que $K_1^\mu = (1, 0, 0, 0)$ e $K_2^\mu = (0, 0, 0, 1)$ são campos de Killing do espaço-tempo de Schwarzschild.

Solução:

$$\mathcal{L}_{k_1} g_{\mu\nu} = 0 \quad (77)$$

e

$$\mathcal{L}_{K_2} g_{\mu\nu} = 0. \quad (78)$$

- ⑦ [2.0] a) Mostre que, definindo a Lagrangeana $\mathcal{L} = (1/2)g_{\mu\nu}\dot{x}^\mu\dot{x}^\nu$ e usando as equações de Euler-Lagrange:

$$\frac{d}{du} \left(\frac{\partial \mathcal{L}}{\partial \dot{x}^\mu} \right) - \frac{\partial \mathcal{L}}{\partial x^\mu} = 0, \quad (79)$$

é possível recuperar a equação da geodésica.

Solução:

$$\frac{\partial \mathcal{L}}{\partial \dot{x}^\alpha} = \frac{\partial}{\partial \dot{x}^\alpha} [(1/2)g_{\mu\nu}\dot{x}^\mu\dot{x}^\nu] = \quad (80)$$

$$(1/2)(g_{\mu\nu}\delta^\mu_\alpha\dot{x}^\nu + g_{\mu\nu}\dot{x}^\nu\delta^\nu_\alpha) = g_{\alpha\nu}\dot{x}^\nu. \quad (81)$$

$$\frac{\partial \mathcal{L}}{\partial x^\alpha} = (1/2)\frac{\partial}{\partial x^\alpha}(g_{\mu\nu}\dot{x}^\mu\dot{x}^\nu) = (1/2)\partial_\alpha(g_{\mu\nu})\dot{x}^\mu\dot{x}^\nu. \quad (82)$$

As equações de Euler-Lagrange são:

$$\frac{d}{du}(g_{\alpha\nu}\dot{x}^\nu) - (1/2)\partial_\alpha(g_{\mu\nu})\dot{x}^\mu\dot{x}^\nu = 0 \quad (83)$$

$$= \partial_\alpha(g_{\mu\nu})\dot{x}^\mu\dot{x}^\nu + g_{\mu\nu}\ddot{x}^\nu - (1/2)\partial_\alpha(g_{\mu\nu})\dot{x}^\mu\dot{x}^\nu = \quad (84)$$

$$\frac{1}{2}\partial_\alpha(g_{\mu\nu})\dot{x}^\mu\dot{x}^\nu + \frac{1}{2}\partial_\nu(g_{\mu\alpha})\dot{x}^\mu\dot{x}^\nu + g_{\mu\nu}\ddot{x}^\nu - \frac{1}{2}\partial_\mu(g_{\alpha\nu})\dot{x}^\mu\dot{x}^\nu = \quad (85)$$

$$g_{\mu\nu}\ddot{x}^\nu + \frac{1}{2}(\partial_\alpha g_{\mu\nu} + \partial_\nu g_{\mu\alpha} - \partial_\nu g_{\alpha\nu})\dot{x}^\mu\dot{x}^\nu = 0. \quad (86)$$

Multiplicando a última igualdade por $g^{\beta\nu}$, obtemos a equação da geodésica:

$$\ddot{x}^\beta + \Gamma^\beta_{\alpha\nu}\dot{x}^\alpha\dot{x}^\nu = 0. \quad (87)$$

b) Usando a definição de tempo próprio, mostre que a equação que expressa a conservação de energia no plano equatorial ($\theta = \pi/2$) de uma órbita de Schwarzschild é:

$$\left(\frac{du}{d\phi}\right)^2 + u^2 = E + \frac{2GM}{h^2}u + \frac{2GM}{c^2}u^3, \quad (88)$$

onde $E = c^2(k^2 - 1)/h^2$, com h e k sendo constantes de integração e $u = 1/r$. *Dica:* Lembre que t e ϕ são coordenadas cíclicas e, portanto, $\partial\mathcal{L}/\partial\dot{t} = k$ e $\partial\mathcal{L}/\partial\dot{\phi} = h$.

Solução: Partindo a definição de tempo próprio

$$c^2 d\tau^2 \equiv g_{\mu\nu} dx^\mu dx^\nu = \quad (89)$$

$$c^2 \left(1 - \frac{R_s}{r}\right) dt^2 - \left(1 - \frac{R_s}{r}\right)^{-1} dr^2 - r^2 d\phi^2. \quad (90)$$

Dividindo os dois lados da igualdade acima por $\dot{\phi}$, obtemos:

$$c^2 \left(1 - \frac{R_s}{r}\right) \dot{t}^2 / \dot{\phi}^2 - \left(1 - \frac{R_s}{r}\right)^{-1} dr^2 / d\phi^2 - r^2 = c^2 / \dot{\phi}^2. \quad (91)$$

Onde pontos denotam derivadas com respeito ao tempo próprio. Agora, notemos que t e ϕ são coordenadas cíclicas e, portanto, podemos obter as relações:

$$\frac{\partial\mathcal{L}}{\partial\dot{t}} = \left(1 - \frac{R_s}{r}\right) \dot{t} = k \quad (92)$$

e

$$\frac{\partial\mathcal{L}}{\partial\dot{\phi}} = r^2 \dot{\phi} = h. \quad (93)$$

Usando as relações acima em (91) e definindo $u \equiv 1/r$, obtemos

$$\left(\frac{du}{d\phi}\right)^2 + u^2 = E + \frac{2GM}{h^2}u + \frac{2GM}{c^2}u^3. \quad (94)$$

c) Defina a variável $\bar{u} \equiv u/u_0$. Em termos dessa variável, a equação (88) pode ser reescrita como:

$$\left(\frac{d\bar{u}}{d\phi}\right)^2 = \epsilon(\bar{u} - \bar{u}_1)(\bar{u} - \bar{u}_2)(\bar{u} - \bar{u}_3), \quad (95)$$

onde $\bar{u}_1 \equiv u_1/u_0$, $\bar{u}_2 \equiv u_2/u_0$, $\bar{u}_3 \equiv u_3/u_0$ são as raízes de $(d\phi/d\bar{u})^2 = 0$ e $\epsilon \equiv 2GMu_0/c^2$, com $u_0 \equiv (u_1 + u_2)/2$. Mostre que, em primeira ordem em ϵ :

$$\frac{d\phi}{d\bar{u}} = \frac{\frac{1}{2}\epsilon(\bar{u} - 1) + 1 + \frac{3}{2}\epsilon}{[\beta^2 - (\bar{u} - 1)^2]^{1/2}}. \quad (96)$$

Na expressão acima, $\beta \equiv (1/2)(\bar{u}_2 - \bar{u}_1)$.

Solução: Como a soma das raízes é $1/\epsilon$ e $\bar{u}_1 + \bar{u}_2 = 2$,

$$\epsilon\bar{u}_3 = 1 - \epsilon(\bar{u}_1 + \bar{u}_2) = 1 - 2\epsilon \quad (97)$$

e, portanto,

$$\left(\frac{d\bar{u}}{d\phi}\right)^2 = (\bar{u} - \bar{u}_1)(\bar{u}_2 - \bar{u})(1 - \epsilon(2 + \bar{u})). \quad (98)$$

Expandindo em primeira ordem em ϵ :

$$\frac{d\phi}{d\bar{u}} = \frac{1 + \frac{1}{2}\epsilon(2 + \bar{u})}{[(\bar{u} - \bar{u}_1)(\bar{u}_2 - \bar{u})]^{1/2}}. \quad (99)$$

Definindo, $\beta \equiv (1/2)(\bar{u}_2 - \bar{u}_1)$ nos permite escrever:

$$\frac{d\phi}{d\bar{u}} = \frac{\frac{1}{2}\epsilon(\bar{u} - 1) + 1 + \frac{3}{2}\epsilon}{[\beta^2 - (\bar{u} - 1)^2]^{1/2}}. \quad (100)$$

d) Podemos integrar (96) para encontrar o ângulo $\Delta\phi$ entre um afélio e o próximo periélio. Mostre que a precessão periélio a cada ciclo é dada por

$$3\epsilon\pi = \frac{3GM\pi}{c^2} \left(\frac{1}{r_1} + \frac{1}{r_2} \right), \quad (101)$$

onde r_1 e r_2 são os valores de r respectivamente no afélio e no periélio. Sabendo que Mercúrio completa uma órbita a cada 0.24 anos, qual será a precessão do periélio de Mercúrio em um século?

Solução: Integrando o resultado do ítem anterior, obtemos:

$$\Delta\phi = \int_{\bar{u}_1}^{\bar{u}_2} (d\phi/d\bar{u})d\bar{u} = \quad (102)$$

$$\left[-\frac{1}{\epsilon} \epsilon (\beta^2 - (\bar{u} - 1)^2)^{1/2} + \left(1 + \frac{3}{2}\epsilon \right) \arcsin \frac{\bar{u} - 1}{\beta} \right]_{\bar{u}_1}^{\bar{u}_2} = \quad (103)$$

$$\left(1 + \frac{3}{2}\epsilon \right) \pi. \quad (104)$$

Note que $\Delta\phi$ é o ângulo entre um afélio e o próximo periélio. O ângulo entre periélios sucessivos pode ser obtido dobrando $\Delta\phi$:

$$\Delta_{per} = 2\pi + 3\epsilon\pi = \frac{3GM\pi}{c^2}(u_1 + u_2) = \frac{3GM\pi}{c^2} \left(\frac{1}{r_1} + \frac{1}{r_2} \right). \quad (105)$$

Podemos usar o resultado acima para estimar que a cada século, o periélio de Mercúrio avança cerca de $\simeq 48''$